

**МИНИСТЕРСТВО РОССИЙСКОЙ ФЕДЕРАЦИИ  
ПО ДЕЛАМ ГРАЖДАНСКОЙ ОБОРОНЫ, ЧРЕЗВЫЧАЙНЫМ СИТУАЦИЯМ И  
ЛИКВИДАЦИИ ПОСЛЕДСТВИЙ СТИХИЙНЫХ БЕДСТВИЙ**

**Федеральное государственное учреждение  
Всероссийский ордена "Знак Почета" научно-исследовательский  
институт противопожарной обороны (ФГУ ВНИИПО МЧС России)**

**УТВЕРЖДАЮ**

Начальник  
ФГУ ВНИИПО МЧС России  
доктор техн. наук, профессор

*Н.П. Копылов*

"*ПК*" " *ДЧ* 2006 г.

**ИНСТРУКЦИЯ**

**по расчету фактических пределов огнестойкости стальных  
конструкций с огнезащитой из минераловатных плит  
Paroc FPS-17**

(контракт № 5783-ОС от 03.12.2004 г.)

Заместитель начальника  
ФГУ ВНИИПО МЧС России  
доктор техн. наук, профессор

*И.А. Болодьян*

**МОСКВА 2006**

## СОДЕРЖАНИЕ

Введение.....	3
1. Общие положения .....	4
2. Статический расчет .....	4
2.1. Общие положения .....	4
2.2. Центрально-нагруженные стержни.....	5
2.3. Изгибаемые и внецентренно-нагруженные стержни .....	6
2.4. Фермы.....	7
3. Номограммы огнестойкости стальных конструкций с огнезащитой минераловатными плитами Paroc FPS-17.....	8
3.1. Результаты экспериментальных исследований .....	8
3.2. Приведенная толщина металла конструкций .....	12
3.3. Построение номограмм с использованием расчетного метода..	12
3.4. Использование номограмм .....	13
4. Пример расчета предела огнестойкости стальной колонны с огнезащитой минераловатными плитами Paroc FPS-17.....	19
Приложение "Общие положения теплотехнического расчета стальных конструкций с огнезащитой" .....	21

## **ВВЕДЕНИЕ**

Работа выполнена на основании контракта № 5783-ОС от 03.12.2004 г., заказчик: Фирма PAROC Oy Ab, адрес: Neilikkatie 17, P.O. Box 294, FI – 01301 Vantaa, Finland.

В работе использованы положения следующих нормативных документов:

- ГОСТ 30247.0-94 "Конструкции строительные. Методы испытания на огнестойкость. Общие требования";
- НПБ 236-97 "Огнезащитные составы для стальных конструкций. Общие требования. Метод определения огнезащитной эффективности";
- Технологический регламент № 050877-К "Система огнезащиты стальных конструкций с применением минераловатных плит PAROC FPS-17".

Расчет производился на ЭВМ "Intel Pentium" при использовании комплекса вычислительных программ для расчета теплового состояния конструкций.

В результате проведенной во ВНИИПО серии экспериментальных исследований по определению огнестойкости стальных конструкций с огнезащитой из минераловатных плит Paroc FPS-17 получены расчетные теплофизические характеристики материалов, на основании которых были рассчитаны номограммы огнестойкости стальных конструкций с данной облицовкой.

Полученные номограммы, в сочетании с представленным ниже расчетным методом, позволяют производить оценку огнестойкости стальных конструкций любой конфигурации, при различных толщинах облицовки из минераловатных плит Paroc FPS-17, а также решение обратных задач.

# ИНСТРУКЦИЯ ПО РАСЧЕТУ ФАКТИЧЕСКИХ ПРЕДЕЛОВ ОГНЕСТОЙКОСТИ СТАЛЬНЫХ КОНСТРУКЦИЙ С ОГНЕЗАЩИТОЙ ИЗ МИНЕРАЛОВАТНЫХ ПЛИТ PAROC FPS-17

## 1. ОБЩИЕ ПОЛОЖЕНИЯ

1.1. Расчет пределов огнестойкости стальных конструкций производится по признаку потери несущей способности в нагретом состоянии - R (по классификации ГОСТ 30247.0-94).

1.2. Сущность метода заключается в определении критической температуры стали исследуемой конструкции, в результате которой наступает ее предел огнестойкости – *статический расчет* и определении времени от начала теплового воздействия до достижения критической температуры – *теплотехнический расчет*.

1.3. Статический расчет конструкции производится по формулам п. 2 настоящей инструкции.

1.4. Теплотехнический расчет производится с помощью номограмм огнестойкости стальных конструкций с огнезащитой минераловатными плитами Paroc FPS-17 по п. 3 настоящей инструкции.

## 2. СТАТИЧЕСКИЙ РАСЧЕТ

### 2.1. Общие положения

Предел огнестойкости стальных конструкций наступает в результате прогрева их сечения или отдельных его частей до критической температуры.

Критическая температура стальных конструкций, находящихся под действием нагрузки, рассчитывается в зависимости от вида конструкции, схемы ее опирания, марки металла и величины нагрузки.

## 2.2. Центральные-нагруженные стержни

Предел огнестойкости центрально-нагруженных стержней наступает в результате прогрева их сечения до критической температуры.

Критическая температура центрально-сжатых стержней определяется как наименьшая величина из двух найденных по таблице 1 значений в зависимости от коэффициентов  $\gamma_T$  и  $\gamma_e$ .

Таблица 1

Значения коэффициентов  $\gamma_T$  и  $\gamma_e$ , учитывающих изменения нормативного сопротивления  $R^H$  и модуля упругости  $E$  стали в зависимости от температуры.

Температура в °С	$\gamma_T$	$\gamma_e$
20	1,0	1,0
100	0,99	0,96
150	0,93	0,95
200	0,85	0,94
250	0,81	0,92
300	0,77	0,90
350	0,74	0,88
400	0,70	0,86
450	0,65	0,84
500	0,58	0,80
550	0,45	0,77
600	0,34	0,72
650	0,22	0,68
700	0,11	0,59

Коэффициенты  $\gamma_T$  и  $\gamma_e$  вычисляются по формулам:

$$\gamma_T = \frac{N_H}{F R^H} \quad (1)$$

$$\gamma_e = \frac{N_H l_0^2}{\pi^2 E_H J_{\min}} \quad (2)$$

где:

$N_n$  - нормативная нагрузка, кг;

$F$  - площадь поперечного сечения стержня, см<sup>2</sup>;

$R^H$  - начальное нормативное сопротивление металла, кг/см<sup>2</sup>;

$E_H$  - начальный модуль упругости металла, кг/см<sup>2</sup>,

для сталей -  $E_H = 2100000$  кг/см<sup>2</sup>;

$l_0$  - расчетная длина стержня, см;

$J_{min}$  - наименьший момент инерции сечения стержня, см<sup>4</sup>.

Расчетная длина -  $l_0$  стержня принимается равной:

- шарнирное опирание по концам -  $l$ ;

где  $l$  - длина стержня, см;

- защемление по концам -  $0,5 l$ ;

- один конец защемлен другой свободен -  $2 l$ ;

- один конец защемлен, другой шарнирно оперт -  $0,7 l$ .

Критическая температура центрально-растянутых стержней определяется по таблице 1 в зависимости от коэффициента  $\gamma_T$ , вычисленного по формуле (1).

### **2.3. Изгибаемые и внецентренно-нагруженные элементы**

Предел огнестойкости изгибаемых и внецентренно-нагруженных элементов наступает в результате повышения температуры их наиболее напряженной грани до критической величины.

В случае незащищенных элементов и защищенных элементов сплошного сечения температура наиболее напряженной грани принимается равной температуре всего сечения. В случае элементов, изготовленных из прокатных профилей, температура наиболее напряженной грани принимается равной температуре соответствующей полки (стенки) поперечного сечения.

Критическая температура изгибаемых элементов определяется по таблице 1 в зависимости от коэффициента  $\gamma_T$ , вычисляемого по формуле:

$$\gamma_T = \frac{M_n}{W R^n} \quad (3)$$

где:

$M_n$  - максимальный изгибающий момент от действия нормативных нагрузок, кг см.

$W$  - момент сопротивления сечения, см<sup>3</sup>.

Критическая температура внецентренно-сжатых стержней определяется как наименьшая величина из двух найденных по таблице 1 значений в зависимости от коэффициентов  $\gamma_T$  и  $\gamma_e$ .

Коэффициент  $\gamma_T$  вычисляется по формуле:

$$\gamma_T = \frac{N_n}{R^n} \left( \frac{e}{W} + \frac{1}{F} \right) \quad (4)$$

где:

$e$  - эксцентриситет приложения нормативной нагрузки -  $N_n$ , см.

Коэффициент  $\gamma_e$  находится по формуле (2).

Критическая температура внецентренно-растянутых стержней определяется по таблице 1 в зависимости от коэффициента  $\gamma_T$ , вычисляемого по формуле (4).

## 2.4. Фермы

Предел огнестойкости металлических ферм наступает в результате потери несущей способности наиболее слабого, с точки зрения огнестойкости элемента.

Для выявления такого элемента определяются пределы огнестойкости всех нагруженных стоек, раскосов и поясов фермы. Критическая температура этих элементов находится в соответствии с п.п. 2.1÷2.3.

### **3. НОМОГРАММЫ ОГНЕСТОЙКОСТИ СТАЛЬНЫХ КОНСТРУКЦИЙ С ОГНЕЗАЩИТОЙ МИНЕРАЛОВАТНЫМИ ПЛИТАМИ PAROC FPS-17**

#### **3.1. Результаты экспериментальных исследований**

Для построения номограмм были обобщены результаты огневых испытаний стальных конструкций с огнезащитой из минераловатных плит Paroc FPS-17, проведенные во ВНИИПО (отчеты № 6204 от 23.03.06 г. и № 6231 от 03.04.06 г.), с подробным описанием конструкций, их геометрических размеров, условий проведения испытаний, поведения конструкций во время испытаний, а также температурные кривые прогрева в различных точках конструкций при воздействии температурного режима "стандартного пожара".

Испытания проводились в соответствии со следующими нормативными документами:

- ГОСТ 30247.0-94 "Конструкции строительные. Методы испытания на огнестойкость. Общие требования";
- НПБ 236-97 "Огнезащитные составы для стальных конструкций. Общие требования. Метод определения огнезащитной эффективности"

В качестве опытных образцов, на которые устанавливалась огнезащита, были использованы стальные колонны двутаврового профиля, высотой 1700 мм, с разной приведенной толщиной металла, в количестве 6 штук (по 2 образца на каждое испытание).

Монтаж минераловатных плит PAROC FPS-17 осуществлялся по негрунтованной поверхности стальных колонн в соответствии с требованиями, изложенными в "Технологическом регламенте № 050877-К. Система огнезащиты стальных конструкций с применением минераловатных плит PAROC FPS-17".

Схема монтажа огнезащиты на опытные образцы показана на рис. 1. Минераловатные плиты Paroc FPS-17 крепились на колонны в виде коробчатого сечения, при помощи клея КНАУФ-Флексклебер по ТУ 5745-012-04001508-97. Порядок крепления плит описан в отчетах по испытаниям.

Испытания колонн проводились при четырехстороннем тепловом воздействии по стандартному температурному режиму согласно ГОСТ 30247.0. Порядок проведения испытаний и испытательное оборудование представлено в вышеуказанных отчетах.

Для построения номограмм были использованы температурные кривые прогрева колонн, облицованных минераловатными плитами Paroc FPS-17, со следующими параметрами:

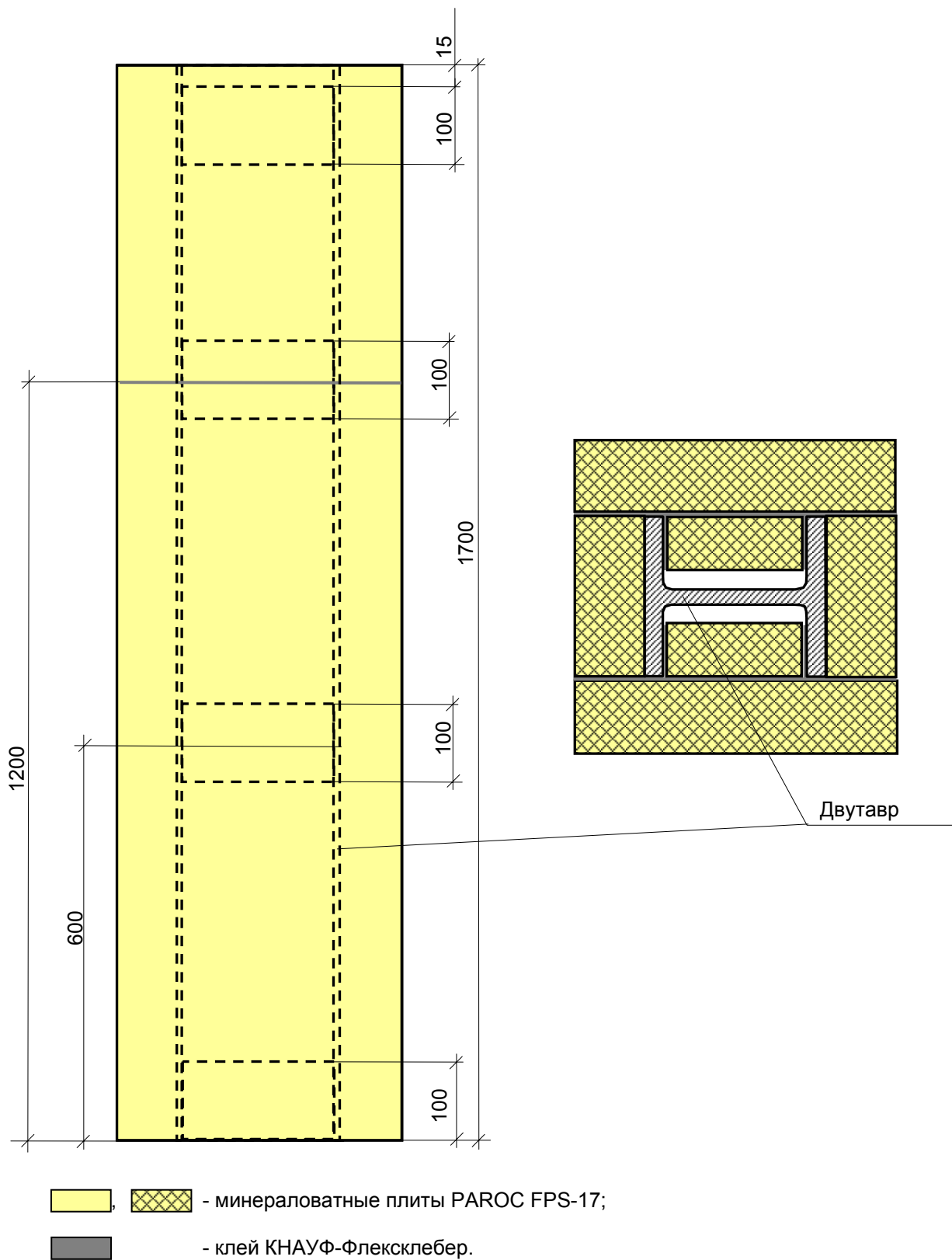
Таблица 2

№ п/п	Приведенная толщина металла, мм	Толщина огнезащиты, мм	Время достижения критической температуры 500 °С, мин
1*	3,4	80	152
2	3,4	30	68
3	8,89	110	> 240**

\* - представленные данные получены в ходе проведения сертификационных испытаний системы огнезащиты на основе минераловатных плит PAROC FPS-17 и клея КНАУФ-Флексклебер для стальных конструкций (отчет № 6204 от 23.03.06 г.);

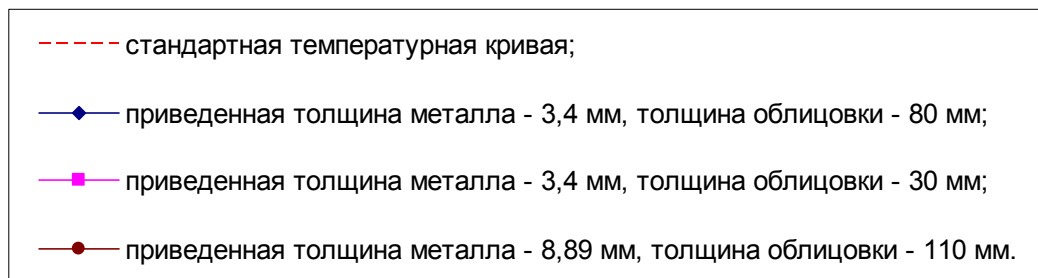
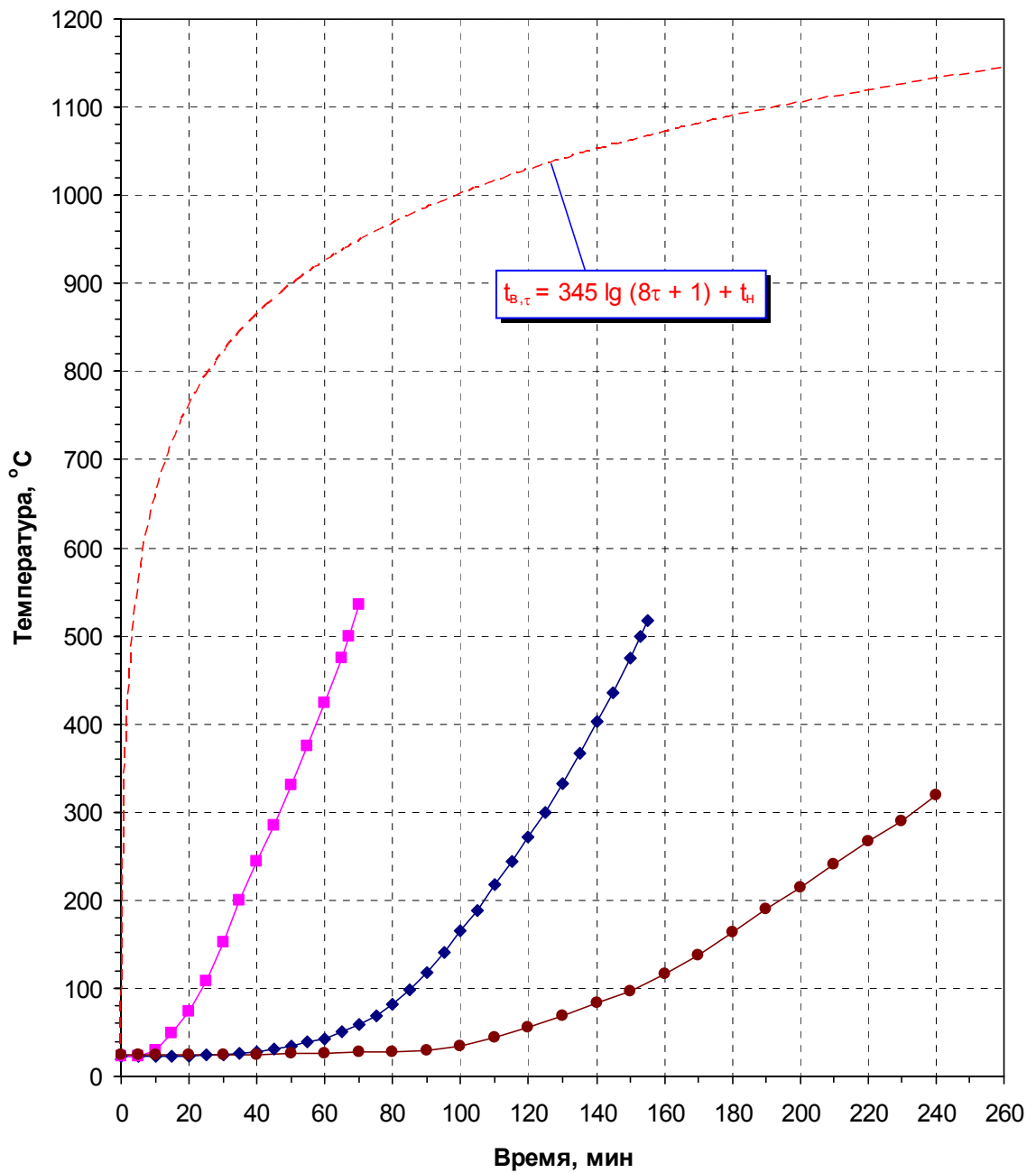
\*\* - на момент окончания огневого воздействия через 240 мин достижения критической температуры 500 °С зафиксировано не было. Средняя температура на опытном образце составила 320 °С.

Результаты испытаний стальных конструкций с огнезащитой из минераловатных плит Paroc FPS-17 были проанализированы и обобщены. Температурные кривые прогрева испытанных конструкций с различными приведенными толщинами и толщинами облицовки показаны на рис. 2.



**Рис. 1.** Схема монтажа системы огнезащиты выполненной на основе минераловатных плит PAROC FPS-17 и клея КНАУФ-Флексклебер.

**Экспериментальные кривые прогрева стальных конструкций с огнезащитой из минераловатных плит Paroc FPS-17**



**Рис. 2.**

### 3.2. Приведенная толщина металла конструкций

Для представления сложной геометрии двухмерной конструкции в одном измерении необходимо использовать единый параметр для всех видов сечений – приведенную толщину металла, вычисляемую формуле:

$$\delta_{пр} = \frac{F}{\Pi} \quad (5)$$

где

$F$  - площадь поперечного сечения металлической конструкции, мм<sup>2</sup>;

$\Pi$  - обогреваемая часть периметра конструкции, мм.

### 3.3. Построение номограмм с использованием расчетного метода

В данной работе был использован расчетный метод определения прогрева стальных конструкций с огнезащитой, общие положения которого представлены в приложении.

В результате сравнительного анализа данных по испытаниям были получены теплофизические характеристики материала облицовки из минераловатных плит Paroc FPS-17: плотность, влажность, степень черноты, коэффициент теплопроводности и коэффициент теплоемкости, - при нормальных условиях, а также при воздействии температурного режима. Для этого на ЭВМ было построено несколько моделей испытанных ранее конструкций и проведен ряд теплотехнических расчетов с использованием подобранных свойств материала минераловатных плит Paroc FPS-17. Сравнительные расчеты проводились до достижения среднего расхождения между результатами расчетов и испытаний не более 20 %.

Теплофизические характеристики облицовки, полученные в результате анализа данных по испытаниям, далее были использованы для построения зависимостей (номограмм) огнестойкости стальных конструкций с огнезащитой из минераловатных плит Paroc FPS-17 при различных толщинах облицовки.

Для расчетов на ЭВМ были построены модели стальных конструкций с огнезащитой из минераловатных плит Paroc FPS-17 с разными значениями толщин облицовки и приведенной толщины металла.

Далее были проведены теплотехнические расчеты данных конструкций при воздействии температурного режима "стандартного пожара" и с использованием полученных свойств материала.

За предел огнестойкости конструкции принималось время нагревания, по истечении которого средняя температура стальной конструкции достигала критической величины. Критическая температура  $t_{кр}$  принималась для значений: 450 °С, 500 °С (по НПБ 236-97), 550 °С и 600 °С.

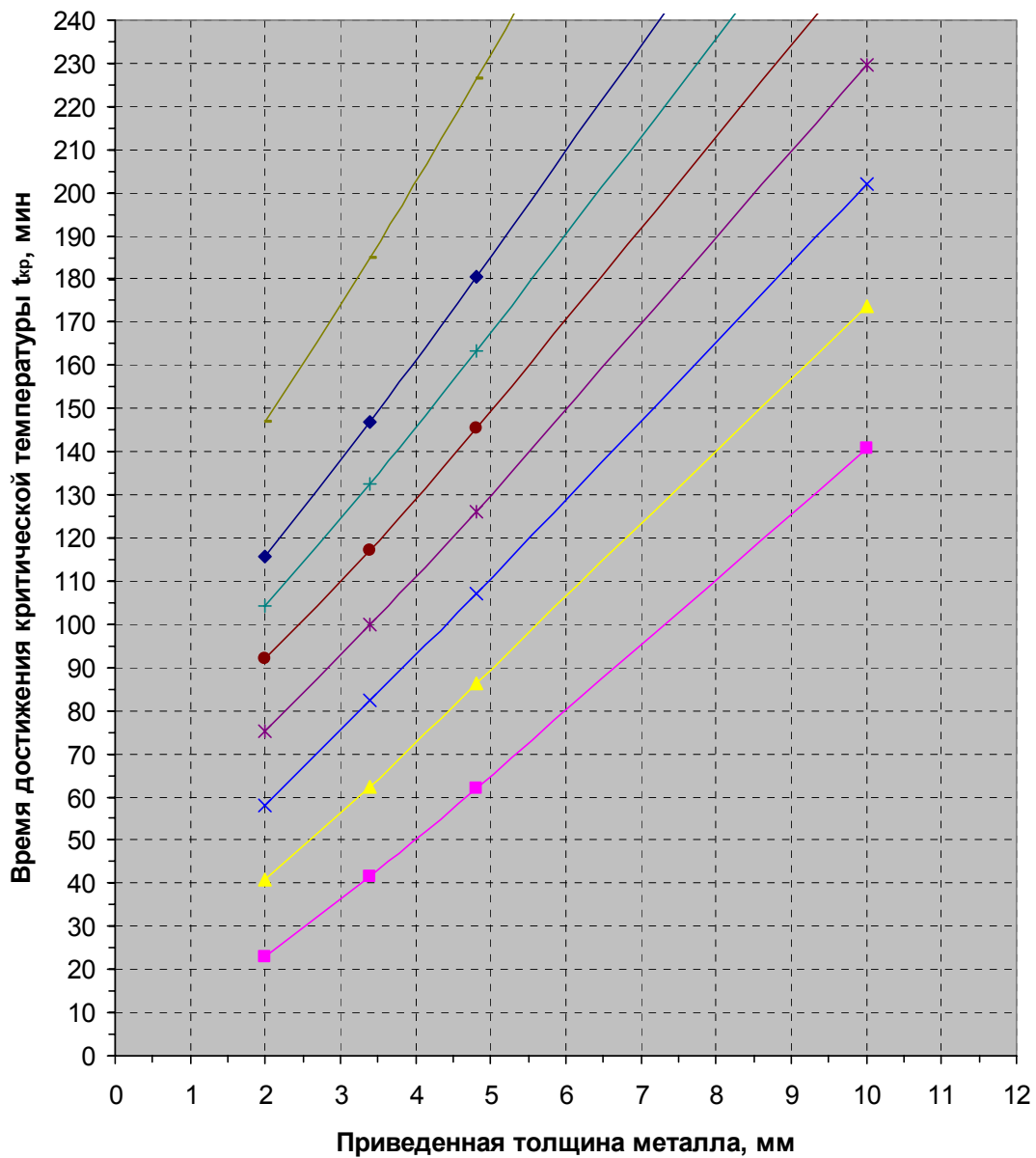
В результате расчетов был получен ряд значений пределов огнестойкости конструкций при различных критических температурах  $t_{кр}$ . Все эти данные были сведены в таблицы пределов огнестойкости конструкций для 4-х значений критических температур, по которым были построены номограммы огнестойкости стальных конструкций с огнезащитой из минераловатных плит Paroc FPS-17, рис. 3, 4, 5, 6.

### **3.4. Использование номограмм**

Номограммы огнестойкости стальных конструкций с огнезащитой из минераловатных плит Paroc FPS-17 предназначены для определения пределов огнестойкости стальных конструкций при критических температурах стали:  $t_{кр} = 450$  °С, 500 °С, 550 °С и 600 °С, см. рис. 3, 4, 5, 6 соответственно.

Огнестойкость стальных конструкций с огнезащитой из минераловатных плит Paroc FPS-17

при  $t_{кр} = 450 \text{ }^{\circ}\text{C}$



Толщина минераловатных плит Paroc FPS-17:

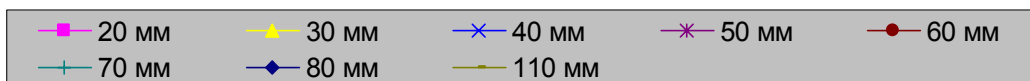
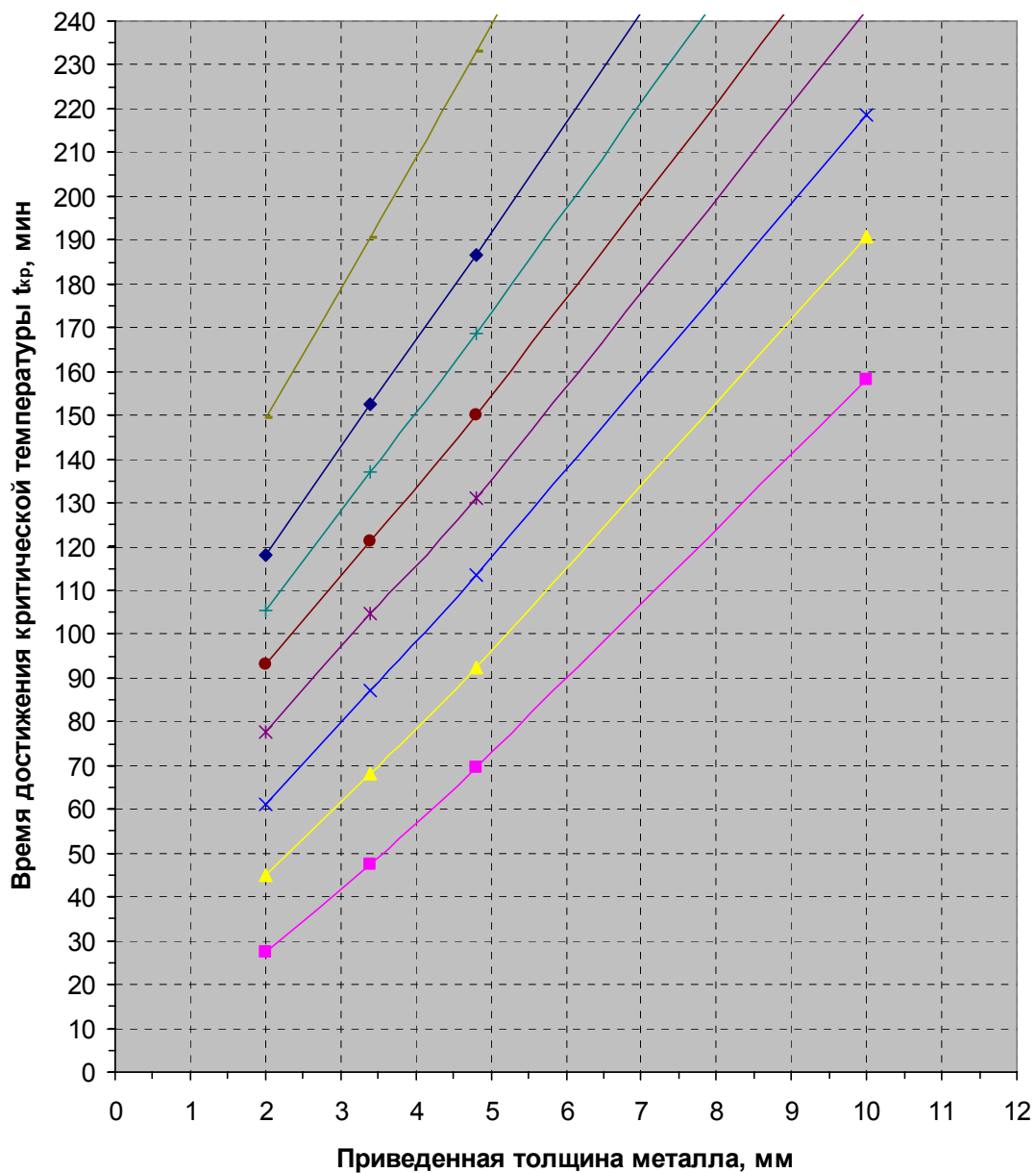


Рис. 3.

Огнестойкость стальных конструкций с огнезащитой из минераловатных плит Paroc FPS-17

при  $t_{кр} = 500 \text{ }^{\circ}\text{C}$



Толщина минераловатных плит Paroc FPS-17:

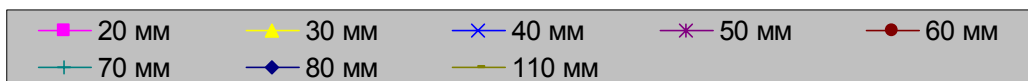
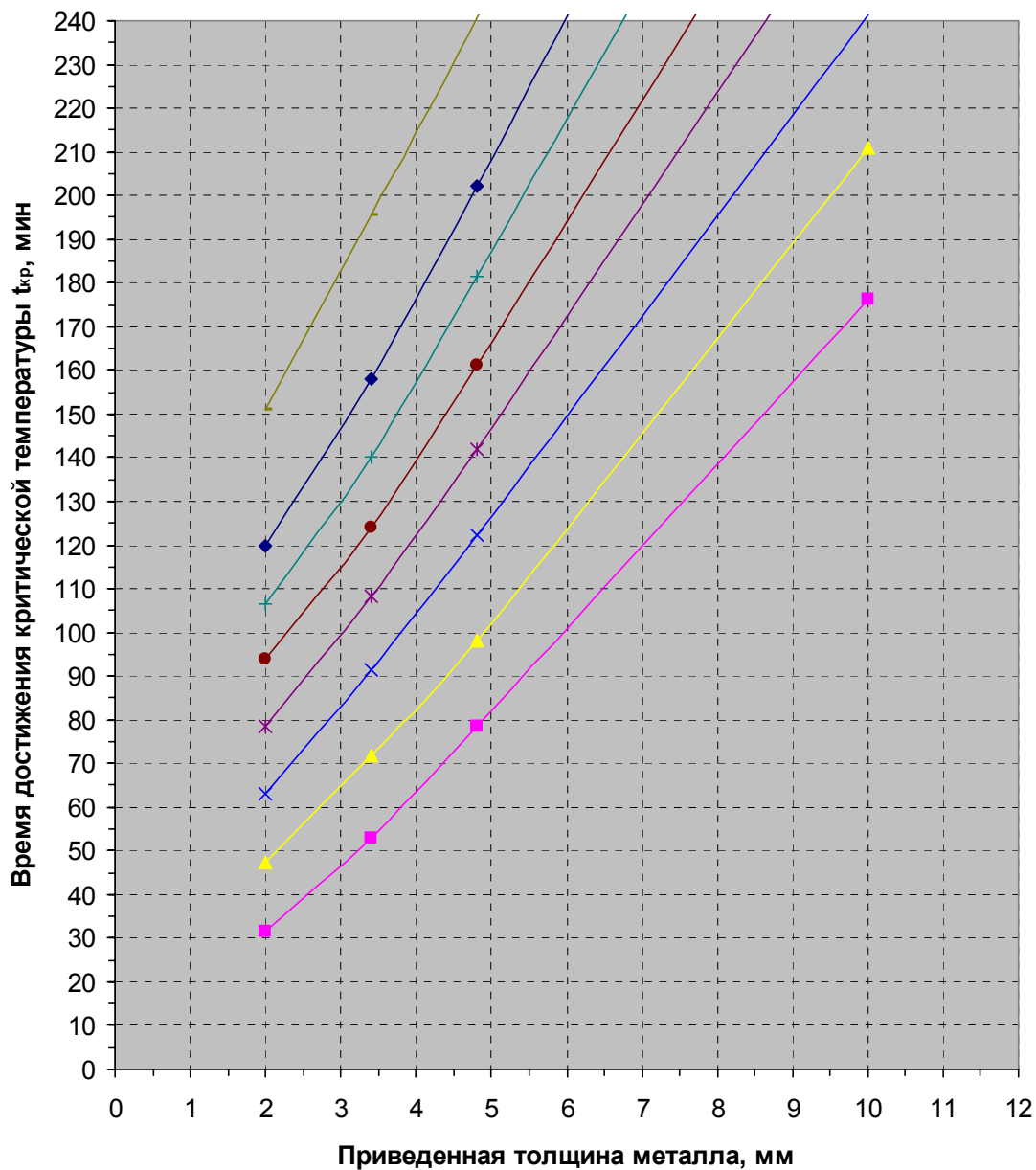


Рис. 4.

Огнестойкость стальных конструкций с огнезащитой из минераловатных плит Парос FPS-17

при  $t_{кр} = 550 \text{ } ^\circ\text{C}$



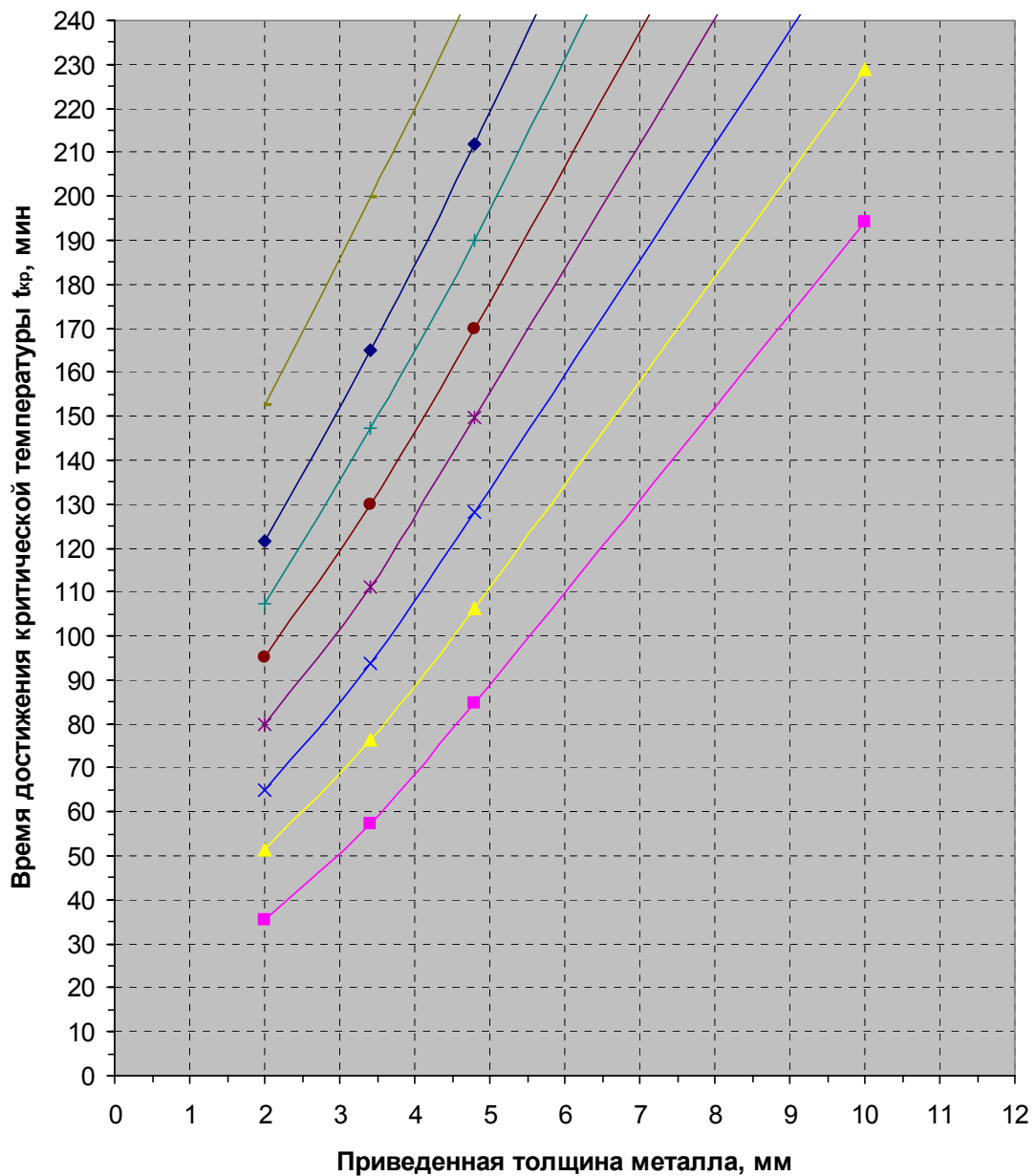
Толщина минераловатных плит Парос FPS-17:



Рис. 5.

Огнестойкость стальных конструкций с огнезащитой из минераловатных плит Paroc FPS-17

при  $t_{кр} = 600 \text{ } ^\circ\text{C}$



Толщина минераловатных плит Paroc FPS-17:

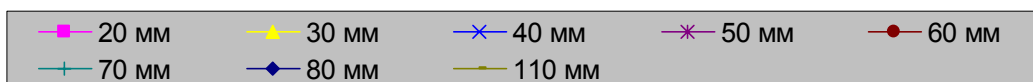


Рис. 6.

Номограммы построены в координатах: "Приведенная толщина металла, мм" - "Время, мин", где "Время" - время достижения предела огнестойкости конструкции. Каждая точка номограммы соответствует пределу огнестойкости стальной конструкции с определенной приведенной толщиной металла и толщиной минераловатных плит Paroc FPS-17. Точки номограммы, соответствующие конструкциям с одной и той же толщиной минераловатных плит, соединены линиями одного цвета и обозначены в легенде в виде значений толщины облицовки (мм). Для поиска промежуточных значений приведенной толщины металла и толщины облицовки следует использовать интерполяцию графиков номограммы.

Для определения предела огнестойкости конструкции необходимо предварительно произвести статический расчет по п. 2 для определения критической температуры стали исследуемой конструкции и принять ближайшее значение  $t_{кр}$  из приведенного выше ряда, либо принять нормативное значение  $t_{кр}$ . Далее следует определить приведенную толщину металла конструкции по формуле (5).

Определив критическую температуру и выбрав соответствующую ей номограмму, на поле номограммы находится график, соответствующий заданной толщине минераловатных плит Paroc FPS-17, см. легенду. Выбранный график является функцией зависимости времени предела огнестойкости конструкции от приведенной толщины металла и используется для определения предела огнестойкости стальной конструкции с огнезащитой минераловатными плитами Paroc FPS-17.

Аналогичным образом данные номограммы могут использоваться для решения обратных задач: поиска минимальной толщины минераловатных плит Paroc FPS-17, для обеспечения заданного предела огнестойкости, и поиска минимальной приведенной толщины металла конструкции для обеспечения заданного предела огнестойкости.

#### 4. ПРИМЕР РАСЧЕТА ПРЕДЕЛА ОГНЕСТОЙКОСТИ СТАЛЬНОЙ КОЛОННЫ С ОГНЕЗАЩИТОЙ МИНЕРАЛОВАТНЫМИ ПЛИТАМИ PAROC FPS-17

*Исходные данные:*

Дана стальная колонна, выполненная из двутавра № 20 по ГОСТ 8239-89, длиной 3,0 м, с шарнирным опиранием по концам, нагруженной центрально приложенной нагрузкой  $N_n=40$  т. Колонна имеет огнезащиту из минераловатных плит Paroc FPS-17 толщиной 30 мм. Определить предел огнестойкости колонны при условии 4-х стороннего обогрева.

*Расчет:*

1. Согласно п. 2.2. вычисляем критическую температуру:

По формулам (1) и (2) вычисляем коэффициенты  $\gamma_T$  и  $\gamma_e$  при следующих параметрах:

$$N_n = 40000 \text{ кг};$$

$$F = 26,8 \text{ см}^2 - \text{ взято из справочника конструктора};$$

$$R^H = 2800 \text{ кг/см}^2 - \text{ для стали Ст5 по ГОСТ 380-71};$$

$$E_n = 2100000 \text{ кг/см}^2;$$

$$l_0 = 300 \text{ см} - \text{ для случая шарнирного опирания обеих концов};$$

$$J_{min} = 1840 \text{ см}^4 - \text{ взято из справочника конструктора.}$$

$$\gamma_T = 0,53$$

$$\gamma_e = 0,09,$$

Для полученных коэффициентов  $\gamma_T$  и  $\gamma_e$  по таблице 1 находим значения температур и наименьшую принимаем за критическую температуру:

$$t_{кр} = 519 \text{ }^\circ\text{C}.$$

2. По формуле (5) вычисляем приведенную толщину металла конструкции. Геометрические размеры и площадь сечения колонны берутся из ГОСТ 8239-89 для двутавра № 20.

$P = 789,6$  мм - для случая 4-х стороннего обогрева колонны;

$F = 2680$  мм<sup>2</sup>.

$\delta_{np} = 3,4$  мм.

3. Определив критическую температуру конструкции  $t_{кр} = 519$  °С выбираем номограммы с ближайшими значениями  $t_{кр} = 500$  °С и  $t_{кр} = 550$  °С. Для заданной толщины минераловатных плит Paroc FPS-17  $\delta_o = 30$  мм (см. легенду) и для найденной приведенной толщины металла  $\delta_{np} = 3,4$  мм находим два значения предела огнестойкости конструкции при  $t_{кр} = 500$  °С и  $t_{кр} = 550$  °С:

$\tau_1 = 68$  мин,  $\tau_2 = 72$  мин.

Интерполируя данный отрезок получаем значение предела огнестойкости при  $t_{кр} = 519$  °С:

$\tau = 69,5$  мин.

Приложение: Общие положения теплотехнического расчета стальных конструкций с огнезащитой.

Начальник отдела

доктор технических наук



*И.Р. Хасанов*

Заместитель начальника отдела

кандидат технических наук



*В.И. Голованов*

Старший научный сотрудник



*А.В. Пехотиков*

## ОБЩИЕ ПОЛОЖЕНИЯ ТЕПЛОТЕХНИЧЕСКОГО РАСЧЕТА СТАЛЬНЫХ КОНСТРУКЦИЙ С ОГНЕЗАЩИТОЙ

1. Расчет производится при условии изменения температуры нагревающей среды во времени по кривой “стандартного пожара” (ГОСТ 30247.0-94), уравнение которой имеет вид:

$$t_{\tau} = 345 \lg(0,133\tau + 1) + t_n \quad (6)$$

где:

$t_{\tau}$  - температура нагревающей среды, °К;

$\tau$  - время в секундах;

$t_n$  - начальная температура нагревающей среды, °К.

2. Коэффициент передачи тепла -  $\alpha$ , Вт/(м<sup>2</sup> К), от нагревающей среды с температурой  $t_{\tau}$  к поверхности конструкции с температурой  $t_0$  вычисляется по формуле:

$$\alpha = 29 + 5,77 s_{np} \frac{(t_{\tau}/100)^4 - (t_0/100)^4}{t_{\tau} - t_0} \quad (7)$$

где  $s_{np}$  - приведенная степень черноты системы: “нагревающая среда - поверхность конструкции”:

$$s_{np} = \frac{1}{(1/s) + (1/s_0) - 1} \quad (8)$$

где  $s$  - степень черноты огневой камеры печи.  $s = 0,85$ ;

$s_0$  - степень черноты обогреваемой поверхности конструкции.

3. Расчет температуры металлического стержня конструкций производится с помощью ЭВМ.

Программа для расчета составляется по алгоритму, который представляет собой ряд формул, полученных на основе решения краевой задачи теплопроводности методом элементарных балансов (конечно-разностный метод решения уравнения теплопроводности Фурье при внешней и внутренней нелинейности и наличии отрицательных источников тепла: испарение воды в облицовке и нагрев металла стержня). По этим формулам температура стержня вычисляется последовательно через расчетные интервалы времени -  $\Delta\tau$  до заданного критического значения.

4. Начальные условия для расчета принимаются следующими:

Начальная температура во всех точках по сечению конструкции до пожара и температура окружающей среды вне зоны пожара одинакова и равна  $t_n = 293$  °К.

5. Величина расчетного интервала времени -  $\Delta\tau$  (шаг программы) выбирается такой, чтобы она целое число раз укладывалась в интервале машинной записи результатов расчета. При этом выбранная величина  $\Delta\tau$  не должна превышать значения, которое вычисляется по формуле (11).

6. Незащищенные металлические конструкции

Алгоритмом для машинного расчета незащищенных металлических конструкций является формула, имеющая вид:

$$t_{cm,\Delta\tau} = \frac{\Delta\tau}{\gamma_{cm} \delta_{np} (C_{cm} + D_{cm} t_{cm})} \alpha (t_{e,\tau} - t_0) + t_n \quad (9)$$

где  $t_{cm,\Delta\tau}$  - температура стержня через расчетный интервал времени- $\Delta\tau$ , °К;

$t_{cm}$  - температура стержня в данный момент времени -  $\tau$ , °К;

$t_{e,\tau}$  - температура нагревающей среды в данный момент времени- $\tau$ , °К;

$\alpha$  - коэффициент передачи тепла от нагревающей среды к поверхности конструкции, Вт/(м<sup>2</sup> град);

$C_{cm}$  - начальный коэффициент теплоемкости металла, Дж/(кг град);

$D_{cm}$  - коэффициент изменения теплоемкости металла при нагреве, Дж/(кг град<sup>2</sup>);

$\gamma_{cm}$  - удельный вес металла, кг/м<sup>3</sup>;

$\delta_{np}$  - приведенная толщина металла, м:

$$\delta_{np} = \frac{F}{\Pi} \quad (10)$$

где  $F$  - площадь поперечного сечения стержня, м<sup>2</sup>;

$\Pi$  - обогреваемый периметр сечения стержня, м.

7. Максимальный расчетный интервал времени -  $\Delta\tau_{max}$  вычисляется по формуле:

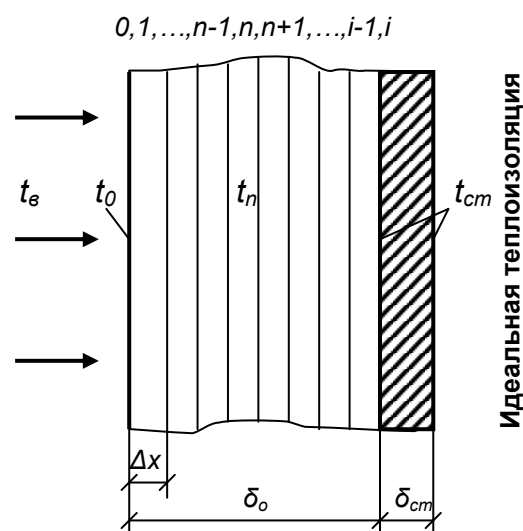
$$\Delta\tau_{max} = \frac{\gamma_{cm} \delta_{np} (C + D_{cm} t_{cm})}{\alpha} \quad (11)$$

где  $\alpha$  и  $t_{cm}$  - максимально возможные значения в расчете.

## 8. Конструкции с огнезащитными облицовками

Для плоских конструкций с одномерным потоком тепла по толщине алгоритм машинного расчета составляется на основании схемы, изображенной на рис. 7. Огнезащитная облицовка толщиной  $\delta_0$  разбивается на  $n$ -ое число слоев  $\Delta x$ .

**Рис. 7.** Схема к расчету на ЭВМ прогрева стальной пластины с огнезащитной облицовкой.



9. Температура на стальной пластине -  $t_{cm,\Delta\tau}$  через расчетный интервал времени -  $\Delta\tau$ , вычисляется по формулам:

- температура на обогреваемой поверхности облицовки:

$$t_{0,\Delta\tau} = \frac{2\Delta\tau[A(t_1 - t_0) + 0,5B(t_1^2 - t_0^2) + \alpha(t_s - t_0)\Delta x]}{\gamma_0\Delta x^2(C + Dt_0)} + t_0 - t_\phi \quad (12)$$

- температура во внутренних слоях облицовки:

$$t_{n,\Delta\tau} = \frac{\Delta\tau[A(t_{n-1} - 2t_n + t_{n+1}) + 0,5B(t_{n-1}^2 - 2t_n^2 + t_{n+1}^2)]}{\gamma_0\Delta x^2(C + Dt_n)} + t_n - t_\phi \quad (13)$$

- температура на стальной пластине:

$$t_{cm,\Delta\tau} = \frac{2\Delta\tau[A(t_n - t_{cm}) + 0,5B(t_n^2 - t_{cm}^2)]}{\Delta x[\gamma_0\Delta x(C + Dt_{cm}) + 2\gamma_{cm}\delta_{cm}(C_{cm} + D_{cm}t_{cm})]} + t_{cm} - t_\phi \quad (14)$$

где  $A$  - начальный коэффициент теплопроводности облицовки, Вт/(м град);

$B$  - коэффициент изменения теплопроводности облицовки при нагреве, Вт/(м град<sup>2</sup>);

$C$  - начальный коэффициент теплоемкости облицовки, Дж/(кг град);

$D$  - коэффициент изменения теплоемкости облицовки при нагреве, Дж/(кг град<sup>2</sup>);

$$t_\phi = \frac{p_e r}{100 \left[ (C + Dt_{cm}) + \frac{2\gamma_{cm}\delta_{cm}(C_{cm} + D_{cm}t_{cm})}{\gamma_0\Delta x} \right]} -$$

- фиктивная температура.

где  $p_e$  - начальная весовая влажность облицовки, %;

$r$  - скрытая теплота парообразования воды,  $r=2260 \cdot 10^3$  Дж/кг.